

2) Теперь, заметим, что во всех рассмотренных выше ~~случаях~~ примерах в карте мкв в помеченных объектах мы рассматривали, на самом деле, ~~какие~~ различные мкв \mathcal{X} отображений $f: \mathcal{X} \rightarrow \mathcal{Y}$. Тогда,

а) Так, в задаче расширения правильного n -угольника ровно в n цветов в карте помеченных объектов мы рассматривали все биинъективные отображения. Их количество, очевидно, $= n!$

б) Далее, в задаче о раскраске вершин правильного n -угольника в $\leq k$ цветов мы в качестве мкв помеченных объектов имели мкв всевозможных отображений $f: \mathcal{X} \rightarrow \mathcal{Y}$, число которых равно $|\mathcal{Y}|^{|\mathcal{X}|} = k^n$. В этой связи, кстати говоря, мкв всех отображений $f: \mathcal{X} \rightarrow \mathcal{Y}$ обозначают обычно через $\mathcal{Y}^{\mathcal{X}} := \mathcal{X}$

в) Теперь, можно было бы рассматривать и задачу о раскраске вершин правильного n -угольника ровно в k цветов \Rightarrow в этом смысле можно помеченных объектов, очевидно, $= \hat{S}(n, k)$.

г) Наконец, можно, в принципе, рассмотреть и задачу о расширении, например, вершин квадрата в 50 цветов так, чтобы цвета не пов-
торялись \Rightarrow имели бы $(k)_n$ помеченных объектов.

Таким образом, мы, в зависимости вида функции, можем более четко формулировать искомую задачу

3) Почему этот формализм так удобен? Да потому, что группа G , как правило, умножительно действует на (гораздо ~~и~~ меньшем) множестве \tilde{X} - решимых в некотором смысле объектов Γ - множестве вершин, граней и т.д. Такое действие G на \tilde{X} , можно достаточно естественно задать действие и на множестве $X = Y^{\tilde{X}}$ всех отображений $f: \tilde{X} \rightarrow Y$. Именно $\exists \circ: G \times \tilde{X} \rightarrow \tilde{X}$ действие G на этих объектах \tilde{X} , т.е. на этих решимых объектах Γ

По определению,

$$g \circ f \in Y^{\tilde{X}} \iff (g \circ f)(x) \stackrel{\text{def}}{=} f(g^{-1} \circ x)$$

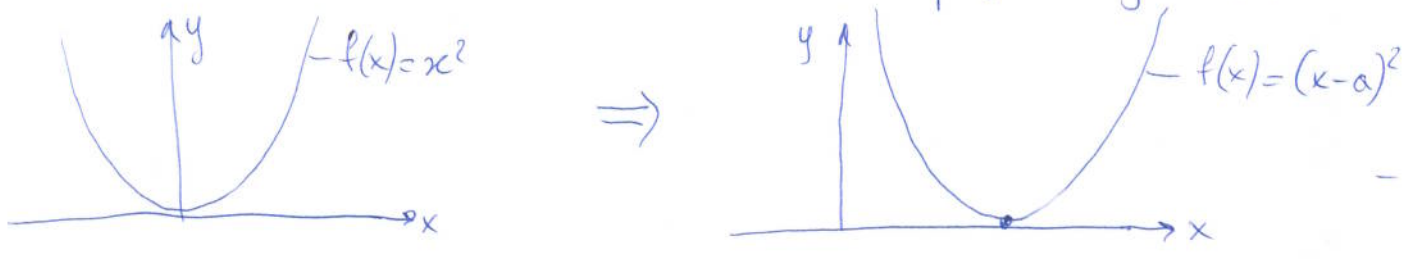
Почему именно такое определение? Дело в том, что мы должны обеспечить выполнение свва ассоциативности действия \circ .

$$g \circ (h \circ f) = (g \circ h) \circ f.$$

Тогда вот, данное выше определение как раз и обеспечивает выполнение этого свва:

$$\begin{aligned} (g \circ (h \circ f))(x) &\stackrel{\text{def}}{=} (h \circ f)(g^{-1} \circ x) \stackrel{\text{def}}{=} f(h^{-1} \circ (g^{-1} \circ x)) = \\ &= f((h^{-1} \circ g^{-1}) \circ x) = f((g \circ h)^{-1} \circ x) \stackrel{\text{def}}{=} ((g \circ h) \circ f)(x) \end{aligned}$$

Заметим, кстати, что такое определение довольно естественно: \exists имеется функция $y = f(x)$:



тогда $y = f(x-a) = (x-a)^2$ есть сдвиг функции $f(x)$ на целую на расстояние, равное a , выпрямление

Кстати, этот пример - это также пример действия группы трансляций на множестве функций $f(x)$.

Теперь: а что на этом смысле есть эти $f_1 \sim f_2$, т.е. эти, принадлежащие одной той же орбите? По определению, $f_1 \sim f_2 \iff \exists g \in G: f_1(x) = f_2(g^{-1} \circ x) \forall x \in X$.

4) Теперь преобразуем лемму Бернсайда на языке отображений $f: \tilde{X} \rightarrow Y$. Элементы f инвазивны, остальные неподвижны под действием элемента $g \in G$ - это все те отображения, для которых

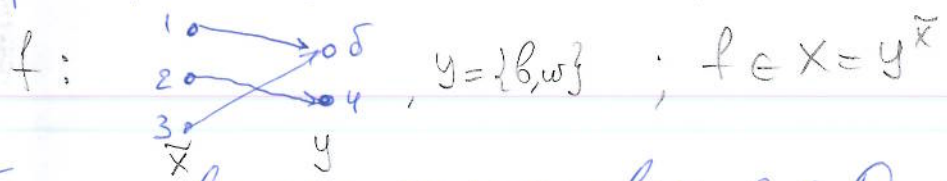
$$g \circ f = f \iff (g \circ f)(x) = f(g^{-1} \circ x) = f(x) \implies$$

\implies для подсчета числа орбит необходимо для $\forall g \in G$ считать число функций $f: \tilde{X} \rightarrow Y$, таких, что

$$f(g^{-1} \circ x) = f(x) \quad \forall x \in \tilde{X} \quad (*)$$

5) Пример: давайте преобразуем на этом языке решение задачи о подсчете комбинаторически различных способов окраски вершин правильного Δ -ка в ≤ 2 цвета. Здесь G - это правильный Δ -к; \tilde{X} - число его помеченных вершин, $|\tilde{X}|=3$; $G=O_3$.

а) Вращение здесь - это \forall функции $f: \tilde{X} \rightarrow Y$ вида



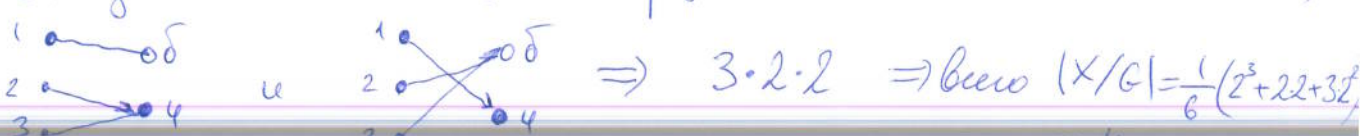
б) Тот же самый перестановка $e \in O_3$ с условием типа a_1^3 : \forall функции $f \in Y^{\tilde{X}}$ удовлет-ет условию $f(e^{-1} \circ x) = f(x) \implies \implies$ имеем 2^3 таких функций.

в) Вращения $a, b \in G$ на 120° и 240° ; имеющие цикловой тип a_3^1 : только 2 функции



удовл-ют св-ву (*) \implies имеем $2^1 + 2^1$ таких функций.

г) Отображения c, d, f откосят. ось, прох. перу т. 1, 2, 3: для $c \in O_3$: добавляются еще 2 функции (цикловой тип $a_1 a_2$)



6) Теперь, вспоминая о нашей модели, состо-
 мизим в том, что все элементы $\sigma \in G \subseteq S_n$, имеющие
~~одноциклое~~ i циклов, дают одинаковый
 вклад в сумму $\sum_{g \in G} |Y^{\sigma(g)}|$, а именно, $|Y|^i$. (дей-
 ствительно, $\forall i$ циклов м.б. покрашен в $\forall i$ k цветов,
 и действие g на таком этте эту расширену сохраняет).

Как следствие, лемма Бернсайдга для этой фор-
 мулы м.б. переформулирована с.о. \downarrow Точнее говоря,
 (Бернсаидга лемма применена к условию,
 $f(\sigma^{-1} \circ x) = f(\sigma)$ т.ч.т.к.
 $f = \text{const}$ на \forall цикле $\sigma \in S_n$, где σ_g - образ $g \in G$ при гомом.
 $G \rightarrow S_n$, $n = |X|$)

$$|Y^X/G| = \frac{1}{|G|} \sum_{i=1}^{+\infty} c_i(G) \cdot |Y|^i$$

$f(\sigma^{-1} \circ x) = f(\sigma) \Leftrightarrow$
 $\Rightarrow f = \text{const}$ на
 \forall цикле $\sigma \in S_n$
 перестановки $\sigma_g \in S_n$

$f = \text{const}$ на \forall цикле $\sigma \in S_n$, где σ_g - образ $g \in G$ при гомом.
 $G \rightarrow S_n$, $n = |X|$

где $c_i(G)$ - это количество тех $\sigma \in G \subseteq S_n$, чей i -цикловый
 тип содержит ровно i циклов. (т.е. тех $g \in G$, чьи образы $\sigma_g \in S_n$ при
 гомоморфизме $G \rightarrow S_n$ содержат ровно i циклов)

7) Конечно, вспоминая, что всю информацию
 о цикловом типе элементов g группы G содер-
 жит цикловый индекс $Z(G)$ группы G , мы
 можем последнее утверждение переписать с.о.:

$$Z(G) = Z(a_1, \dots, a_n) = \frac{1}{|G|} \sum_{g \in G} a_1^{z_1(g)} \dots a_n^{z_n(g)}$$

где $n = |X|$, $1 \cdot z_1(g) + 2 \cdot z_2(g) + \dots + n \cdot z_n(g) = n \quad \forall g \in G$,
 $z_i(g)$ - колво циклов длины i в перестановке
 $\sigma \in S_n$, являющаяся образом $g \in G$ при
 гомоморфизме $G \rightarrow S_n$.

Тогда

$$|Y^X/G| = Z_G(k, \dots, k) = \frac{1}{|G|} \sum_{g \in G} k^{z_1(g) + \dots + z_n(g)}$$

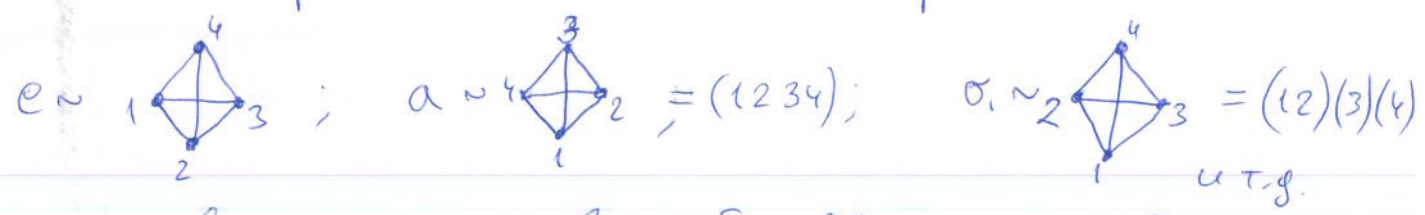
$k = |Y|, n = |X|$.

3. Рассмотрим треугольно-важное приложение полученных результатов - подсчет кова всех конечных графов на n вершинах.

1) $\exists V$ - это мнво n вершин графа; $V = \{1, \dots, n\}$.
Введем мнво X всех $\binom{n}{2} = \frac{n(n-1)}{2}$ возможных ребер этого графа. Тогда \forall граф на n вершинах можно

- а) либо рассматривая мнво \forall подмнво этого мнво $X \Rightarrow$ имеем $2^{\binom{n}{2}}$ всех возможных графов
- б) либо граф, ^{все $\binom{n}{2}$ ребра} которого окрашены в ≤ 2 цвета: черный (ребро \exists) или белый (ребро \nexists).

2) Теперь: группа G симметрий графа - это группа S_n перестановки всех n вершин:



Она действует на мнво ребер X графа; образ $G = S_n$ при ком-чине G в $S_{\binom{n}{2}}$ обозначается обычно $S_n^{(2)}$.
Оказывается, $S_n^{(2)} \cong S_n$. Задача - считать цикловый индекс $S_n^{(2)}$.

3) Напомним, что цикловый индекс группы S_n равен

$$Z(S_n) = \sum \frac{1}{k_1! \dots k_n!} \left(\frac{a_1}{1}\right)^{k_1} \dots \left(\frac{a_n}{n}\right)^{k_n}, \quad 1k_1 + 2k_2 + \dots + nk_n = n.$$

Действительно, возьмем \forall перестановку σ , имеем i_1 циклов длины 1, i_2 циклов длины 2, ..., i_n циклов длины n .
Сколько существует перестановок того же циклового типа?

а) Возьмем нашу перестановку σ и представим в ней эти все $n!$ возможных способов (цикловый

2 причины, по которым не все из них будут реализованы

а) 1^я причина: для \forall группы K : имеется K ~~разных~~ переходящих друг в друга вариантов расположения ~~элементов~~ в этой группе \Rightarrow

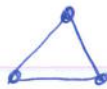
$$\frac{n!}{1^{k_1} \cdot 2^{k_2} \cdot \dots \cdot n^{k_n}}$$

б) 2^я причина: кроме того, ~~разные варианты~~ ~~разные варианты~~ группы заданной группы неразумны \Rightarrow имеется $k_1!$ вариантов расположения элементов группы 1, $k_2!$ — группы 2, ... \Rightarrow

$$\frac{n!}{k_1! \cdot 1^{k_1} \cdot \dots \cdot k_n! \cdot n^{k_n}} \Rightarrow \text{дела на } n!; \text{ получаем...}$$

4) Перейдем теперь к описанию действия S_n на мнжве ребер \tilde{X} .

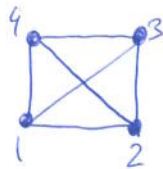
а) В случае $n=3$:



$$S_3 \cong D_3 \cong S_3^{(2)} \Rightarrow$$

$\Rightarrow Z(S_3^{(2)}) = \frac{1}{6} [a_1^3 + 2a_3 + 3a_2^2]$. Причина: для полного графа K_3 дуальный и небу граф совпадает с K_3 .

б) В случае $n=4$:



\Rightarrow имеем $\frac{1}{6} [2^2 + 2^2 + 3 \cdot 2^2] = 4$ различных небу графа на 3-х вершинах.

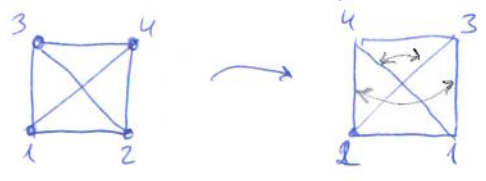
1. Единичный элемент $e \in S_4$ оставляет все $\binom{4}{2} = 6$ ребер на месте \Rightarrow цикловой индекс одного этого элемента в $S_{\binom{4}{2}} = S_6$ есть a_1^6

2. Теперь: имеем 6 перестановок $\sigma \in S_4$, меняющие два местами две вершины: $(12)(3)(4); (13)(14); (23)(24); (34)$.

Из этих перестановок: не меняет ребро, соединяющее эту пару вершин, \oplus ~~соединяющее~~ соединяющее оставшуюся пару ($\Rightarrow a_1^2$) ко:

имеет меньше ребра, выходящие из 1 и 3 на 2 и 3 и наоборот $\Rightarrow a_2^2 \Rightarrow$ всего $6 a_1^2 a_2^2$.

3. Далее, 3 перестановки типа $(12)(34); (13); (14)...$



Вновь не меняются ребра, соединяющие 2 вершины в узле $\Rightarrow 3 a_1^2 a_2^2 \Rightarrow$ всего $9 a_1^2 a_2^2$

4. Теперь, 8 перестановок вида $a_1 a_3$, т.е. $(1)(234), (1)(243), ...$ эти три ребра в узле не меняются, а 3 ребра, идущие в т.д., уничтожены переставляются $\Rightarrow 8 a_3^2$.

5. Наконец, 6 перестановок типа a_4 :



они уничтожены переставляются 4 ребра, входящих в узел, и переставляются 2 диагональных $\Rightarrow a_4^1 a_2^1$.

6. Т.о. окончательно имеем

$$Z_*(S_4^{(2)}) = \frac{1}{24} \cdot [a_1^6 + 9 a_1^2 a_2^2 + 8 a_3^2 + 6 a_4^1 a_2^1]$$

7. Т.о. всего имеем

$$\frac{1}{24} [2^6 + 9 \cdot 2^4 + 8 \cdot 2^2 + 6 \cdot 2^2] = \frac{1}{3} [8 + 18 + 4 + 3] = \frac{33}{3} = 11$$

различных непомеченных графов на 4-х вершинах.

в) Для более общего случая n приведена, например, у Харари и Полнера - стр. 108.